§ 2.12 电容式测孔传感器

电容式测厚传感器已在§2.4中作了介绍,本节专门介绍电容式测孔传感器。 §2.12.1 环形测孔传感器

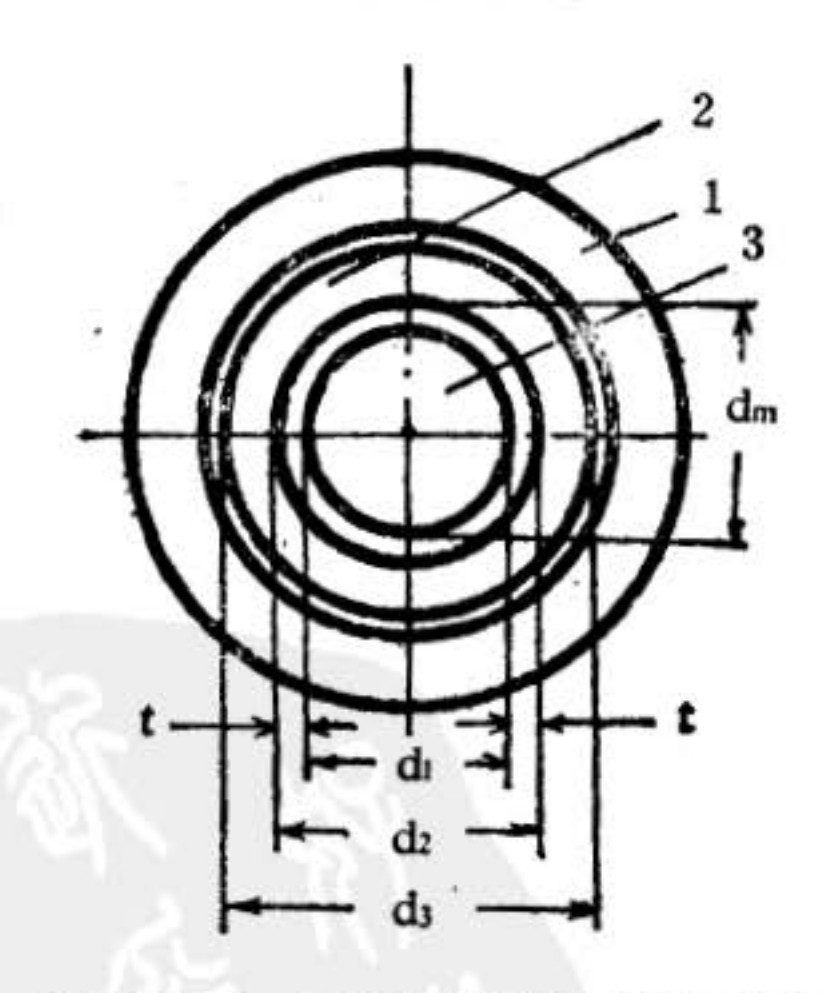


图 2.12.1 环形测孔传感器结构示意图 1.保护层, 2.内屏蔽环; 3.内电极

所谓环形测孔传感器,即测孔用的电极 为一个圆环状,如图2.12.1所示。

工作原理 在图 2.12.1 中, d_1 为内电极直径(3mm); d_2 为内屏蔽环内径(3.2mm); d_3 为内屏蔽环外径(3.8~6mm); d_m 为节圆直径(3.1mm); t 为内电极与内屏蔽环间绝缘层厚度(0.1mm)。

它们之间有如下关系:

$$d_2 = d_1 + 2t \tag{2.12-1}$$

$$d_m = \frac{1}{2}(d_1 + d_2) \qquad (2.12-2)$$

$$(d_2 + 3h) \le 2d_1$$
 (2.12-3)

环形传感器测孔如图 2.12.2 所示。图中,传感器 1 和被测工件 7 间的电容为

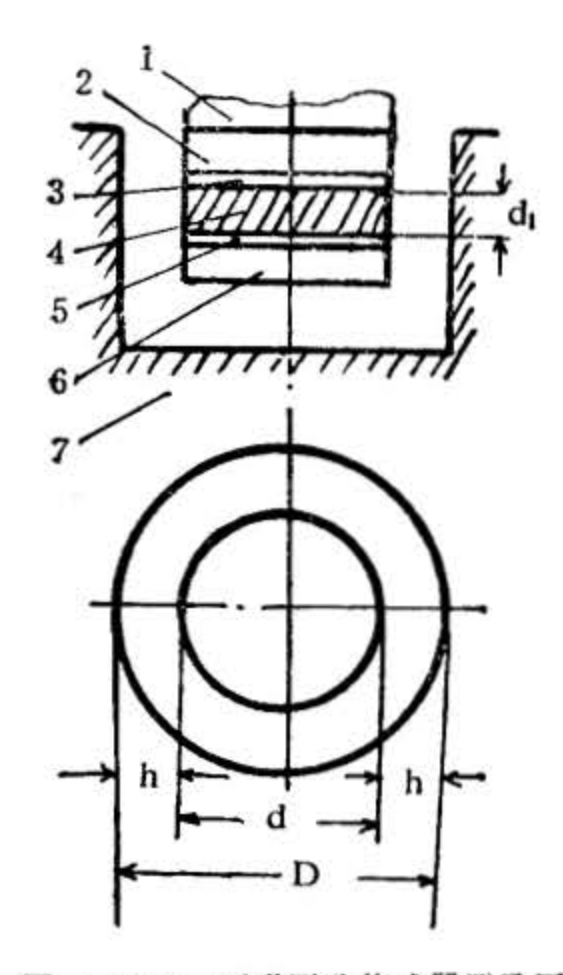


图 2.12.2 环形测孔传感器测孔图 1.传感器 2.6.保护环 3.5.绝缘层 4.内电极 7.被测工件

$$C = \frac{2\pi\varepsilon_0\varepsilon_r d_1}{\ln\frac{D}{d}}$$
 (2.12—4)

式中 ε_o 一真空中介电常数, $\varepsilon_o = 8.85415 \times 10^{-12} f/m;$

 ε_r 一传感器和被测工件间的相对介 电 常数, 若为空气,则 $\varepsilon_r = 1$;

d1-传感器内电极环厚度;

d一传感器内电极直径;

D-被测孔直径。

将式 (2·12-4) 中 ln D/d 用幂级数展 开,则有

$$\ln \frac{D}{d} = \left(\frac{D}{d} - 1\right) - \frac{1}{2} \left(\frac{D}{d} - 1\right)^{2}$$
$$-\frac{1}{3} \left(\frac{D}{d} - 1\right)^{3} - \dots$$
(2.12-5)

由于D-d=h,因而

$$\frac{D}{d} - 1 = \frac{D - d}{d} = \frac{2h}{d}$$
 (2.12-6)

将式(2.12-6)代入式(2.12-5)中,并忽略高次项(因 d≫2h),则有

$$\ln \frac{D}{d} \doteq \frac{2h}{d} \tag{2.12-7}$$

将式(2.12-7)代入式(2.12-4)中,并令 $\varepsilon_r = 1$ (空气中测时),则有

$$C = \frac{2\pi\varepsilon_o d_1}{2h/d} = \frac{\varepsilon \cdot S}{(D-d)/2}$$
 (2.12—8)

式中 S一传感器内电极的面积, $S = \pi d_1 d_2$

由式 (2.12-8) 可知, 当 S、d、 ε 、C 已知后,则被测工件孔的直径 D 便可知。

电 路 测量时,可将环形电容传感器接成如图 2.12.3 所示的比例运算电路。根据该电路,输出电压 V。大小为

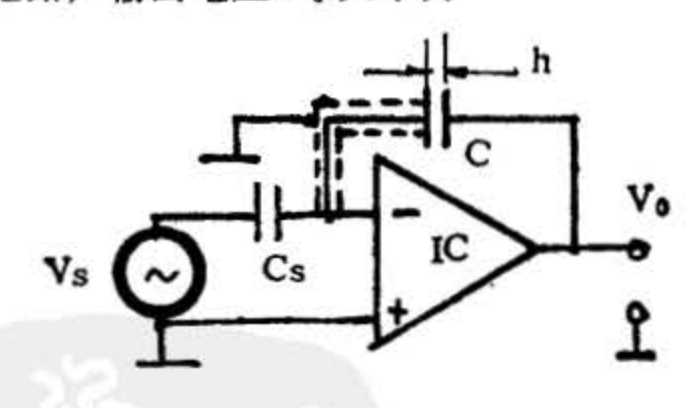


图 2.12.3 环形电容传感器的测量电路图

$$V_o = -\frac{C_s}{C}V_s$$
 (2.12—9)

式中 C_i 一标准固定电容(1pf),

V.一信号源电压, 频率为 10kHz, 幅值稳定度为0.01%, 幅值可调;

C-环形电容器的电容。

将式(2.12-8)代入(2.12-9)式可得

$$V_o = \frac{C_s V_s}{2\varepsilon S} (D - d)$$
 (2.12—10)

上式说明,输出电压V。的大小与(D-d)(被测工件与传感器的间隙)成正比。

主要性能 环形测孔传感器主要性能如下:

最大测孔范围(即 h)为 200 μm;

灵敏限 0.01μm (φ3mm 传感器), φ1mm 的灵敏度限为 0.001μm。

环形电容传感器可测精密设备的微小孔径。它的优点是线性度好,性能稳定,结构简单,

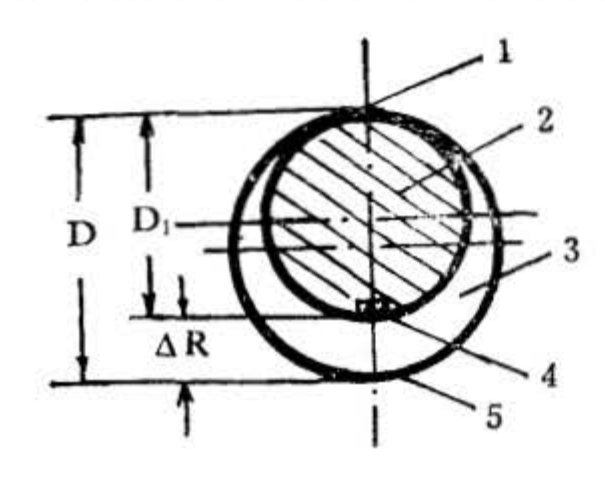


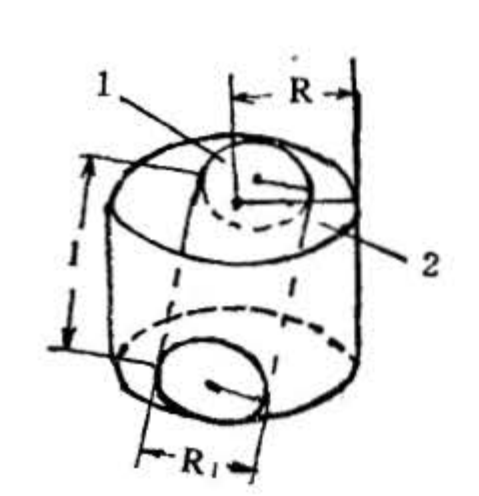
图 2.12.4 单向测孔传感器 1. 定位点 2. 芯轴 3. 被测孔 4. 电极 5. 被测工件

精度高。 § 2.12.2 单向、双向测孔传感器

1. 单向测孔传感器

工作原理 单向测孔传感器如图2.12.4 所示,被测工件内孔与传感器芯轴形成一个 复杂的形状。从顶部截面看,它们间的空隙 为一个月牙状。实际上则为图2.12.5所示的 复杂形状。由于传感器的芯轴单向靠于被测 工件一边, 故称为单向测孔传感器。

单向测孔传感器的电容(在斜靠时)可由



下式表示:

$$C = \frac{\varepsilon_0 2\pi l}{\ln \frac{R}{R}} \cdot k \tag{2.12-11}$$

式中 R-被测孔的半径;

 R_1 —芯轴半径;

1一芯轴斜靠时的棱长;

k 可由下式给出

图 2.12.5 单向测孔传感

$$k = \frac{S}{S_o} \tag{2.12-12}$$

器实体形状 式中 S一传感器电极面积(在 $l=\phi$ 时, ϕ 为芯轴直径)

1. 芯轴; 2. 被测工件内孔。 S_o —半径为 R_i 、高为 ϕ 的圆柱面面积,即

(2.12-13) $S_o = 2\pi R_1 \phi$

为了计算 s 大小,可将芯轴绘于图 2.12.6 中。由图可知

$$\cos \theta = \frac{\sqrt{R_1^2 - \left(\frac{\phi}{2}\right)^2}}{\sqrt{x^2 + \left(\sqrt{R_1^2 - \left(\frac{\phi}{2}\right)^2}\right)^2}}$$

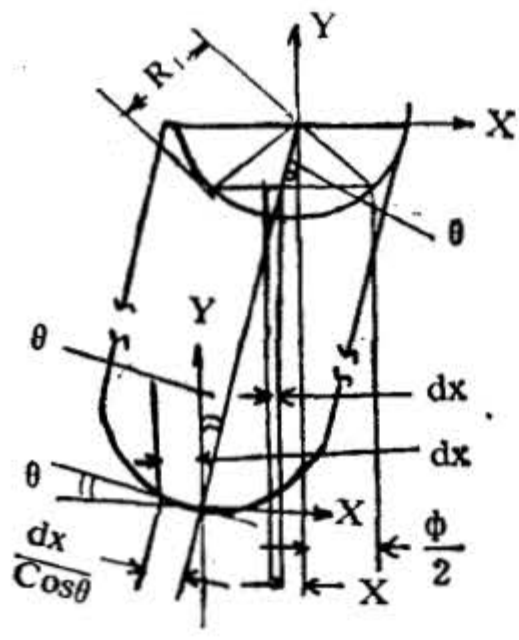


图 2.12.6 计算参数时用的芯轴图

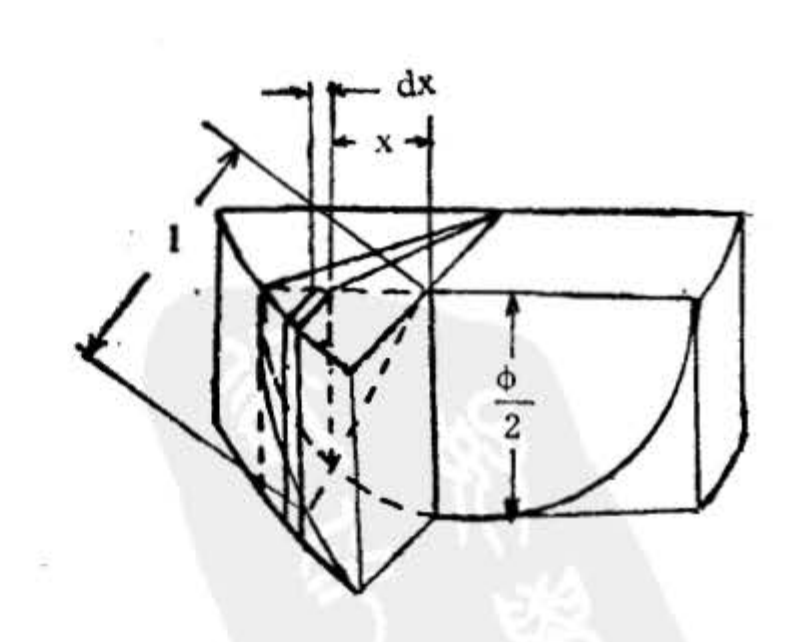


图 2.12.7 计算参数时用的被测工件孔的图

$$=\frac{\sqrt{R_1^2-\left(\frac{\phi}{2}\right)^2}}{\sqrt{x^2+R_1^2-\left(\frac{\phi}{2}\right)^2}}$$
 (2.12—14)

而被测工件孔的图绘于图 2.12.7 中。由图中可知

$$l = \sqrt{\left(\frac{\phi}{2}\right)^2 - x^2} \tag{2.12-15}$$

传感器的电极面积的四分之一为

$$\frac{s}{4} = \int_0^{c_1} l \frac{dx}{\cos \theta}$$
 (2.12—16)

将式 (2.12-14)、(2.12-15) 代入式(2.12-16)中,则有

$$\frac{s}{4} = \frac{1}{\sqrt{R_1^2 - (\frac{\phi}{2})^2}} \int_0^{\frac{\phi}{2}} \left[\sqrt{(\frac{\phi}{2})^2 - x^2} \sqrt{x^2 + R_1^2 - (\frac{\phi}{2})^2} \right] dx$$

聊

$$s = \frac{4}{\sqrt{R_1^2 - \left(\frac{\phi}{2}\right)^2}} \int_0^{\frac{\phi}{2}} \sqrt{\left[\left(\frac{\phi}{2}\right)^2 - x^2\right] \left[x^2 + R_1^2 - \left(\frac{\phi}{2}\right)^2\right]} \cdot dx \qquad (2.12-17)$$

将式(2.12-13)、(2.12-17)代入式(2.12-12)中,则有

$$k = \frac{2\int_{0}^{\frac{\pi}{2}} \sqrt{\left[\left(\frac{\phi}{2}\right)^{2} - x^{2}\right] \left[x^{2} + R_{1}^{2} - \left(\frac{\phi}{2}\right)^{2}\right] \cdot dx}}{\pi R_{1} \phi \sqrt{R_{1}^{2} - \left(\frac{\phi}{2}\right)^{2}}}$$
(2.12—18)

将式(2.12-18)代入式(2.12-11)中,则有

$$C = \frac{4\varepsilon_0 l \int_0^{\frac{\pi}{2}} \sqrt{\left(\left(\frac{\phi}{2}\right)^2 - x^2\right) \left(x^2 + R_1^2 - \left(\frac{\phi}{2}\right)^2\right) \cdot dx}}{R_1 \phi \cdot \ln \frac{R_2}{R_1} \sqrt{R_1^2 - \left(\frac{\phi}{2}\right)^2}}$$
(2.12—19)

由于实际上取1=φ, 而且

$$\ln \frac{R}{R_1} = \ln \frac{R_1 + \triangle R}{R_1} = \ln \left(1 + \frac{\triangle R}{R_1}\right)$$

当 $\triangle R \ll R_1$ 时,则 $\ln \frac{R}{R_1} \approx \frac{\triangle R}{R_1}$,将条件 $l = \phi$ 及 $\ln \frac{R}{R_1} \approx \frac{\triangle R}{R_1}$ 代入式(2.12—9)中,则有

$$C = \frac{4\varepsilon_o}{\triangle R \sqrt{R_1^2 - (\frac{\phi}{2})^2}} \int_0^{\frac{\phi}{2}} \sqrt{\left[(\frac{\phi}{2})^2 - x^2\right] \left[x^2 + R_1^2 - (\frac{\phi}{2})^2\right]} \cdot dx \qquad (2.12-20)$$

单向测孔传感器测量电路仍然用图 2.12.3 所示的测量电路。这时,输出电压为

$$V_o = -\frac{C_s V_s \sqrt{R_1^2 - \left(\frac{\phi}{2}\right)^2}}{4\varepsilon_0 \int_0^2 \sqrt{\left[\left(\frac{\phi}{2}\right)^2 - x^2\right] \left[x^2 + R_1^2 - \left(\frac{\phi}{2}\right)^2\right] \cdot dx}} \cdot \triangle R$$
(2.12—21)

上式说明, V_o 与 $\triangle R$ (被测孔直径与芯轴直径间最大间隙,见图 2.12.4)成正比。 若测得 V_o ,便可知 $\triangle R$,从而可知被测孔直径 D 的大小。

主要性能 当 $\varepsilon_o = 8.85 \times 10^{-3} \text{p/mm}$, $R_1 = 5 \text{mm}$, $\phi_1 = 3 \text{mm}$ (即传感器直径), $C_s = 1 \text{PF}$ (标准固定电容), $V_s = 6.8 \text{V}$ (信号源电压)时, 整机灵敏度为

$$\frac{\triangle R}{V_0} = \frac{0.01\mu}{mV} \tag{2.12-22}$$

单向测孔时,最大的缺点就是定位点对测量结果影响较大。如图2.12.8所示,当被测工件重心不在被测孔的中心线上时,则得到的△R并不对应于孔直径的数值,而是对应于孔直径附近弦长的数值。这就给测量带来误差。

2. 双向测孔传感器

工作原理 为了克服单向测孔传感器的接触点定位的缺点,可采用由两个传感器构成的 双向测孔传感器,如图2.12.9所示。

先将传感器调到 x 轴线上,再移动 y 的工作面,使 $\triangle R_1 = \triangle R_2 = \triangle R$,则被测孔径

$$D = D_1 + 2 \triangle R$$

(2.12-23)

式中 D_1 一芯轴直径。

主要性能同单向测孔。

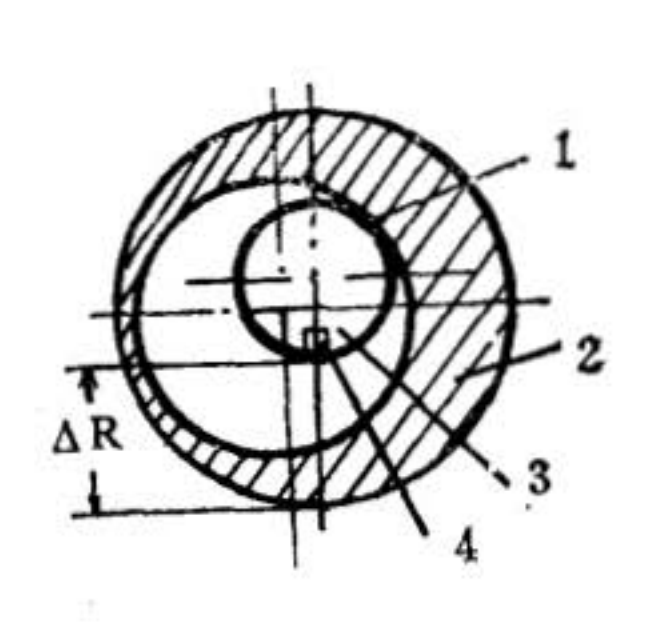


图 2.12.8 定位点对测量结果的影响 1.定位点 2.被赛工件 3.芯轴 4.电极

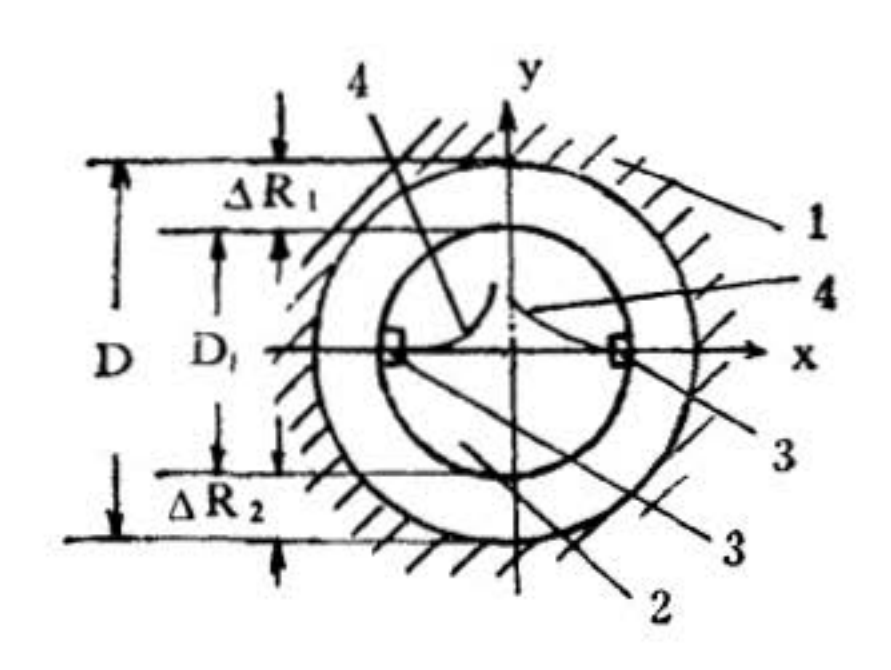


图 2.12.9 双向测孔 1.被测工件 2.芯轴 3.电极 4.电极引线